

Durante la **nucleosíntesis primordial**, la interacción entre protones, neutrones y leptones se describe mediante interacciones débiles y electromagnéticas. Las teorías efectivas tipo SQE modelan cómo las condiciones iniciales del universo (campo inflatón, curvatura, acoplamientos de gauge) determinan las tasas de reacción y la evolución térmica, afectando la formación de elementos ligeros como el hidrógeno, helio y litio.

Te presento ahora una versión **organizada por capas** del lagrangiano en el contexto de una teoría efectiva como **SQE**, mostrando cómo se introduce la física relevante **desde el nivel fundamental cuántico** hasta la **nucleosíntesis**. Esta estructura te ayudará a visualizar cómo el lagrangiano va incorporando distintos sectores físicos, **capa por capa**, de lo más fundamental a lo emergente:

Tienes toda la razón al señalar que en la **fase cero del universo primordial** —antes de que se forme la geometría clásica del espacio-tiempo— **la gravedad no es un campo dinámico clásico todavía**, sino que estamos en un régimen **pre-geométrico**, donde las **constantes fundamentales** como $\hbar, c, G, \hbar c, G$ (o combinaciones como $M_{\text{Pl}} \sqrt{\lambda}$) definen escalas, pero no necesariamente campos activos en un lagrangiano clásico.

Vamos a replantear el enfoque, respetando tu marco:

Vamos a construir, paso a paso, un **lenguaje lagrangiano coherente con la física cuántica del universo primitivo, sin gravedad dinámica al inicio**, hasta llegar al **primer núcleo estable de helio (He-4)** durante la **nucleosíntesis primordial**.

Lagrangiano Evolutivo Acumulativo: Desde el Universo Primordial hasta la Conciencia Planetaria

FASE 0: Estado Cuántico Primordial — Sin Espacio-Tiempo Dinámico

Hipótesis:

No existe una métrica dinámica del espacio-tiempo; solo constantes fundamentales y campos cuánticos sobre un fondo plano sin estructura causal clásica.

Constantes fundamentales:

- \hbar (h-barra): constante de Planck reducida
- c : velocidad de la luz
- e : carga del electrón
- m_e : masa del electrón
- m_p : masa del protón
- α (constante de estructura fina) = $e^2 / (4 \pi \hbar c)$

Campos:

- $e(x)$: campo del electrón

- $p(x)$: campo del protón
- $A_{\mu}(x)$: campo electromagnético
- $F_{\mu\nu} = \partial_{\mu}A_{\nu} - \partial_{\nu}A_{\mu}$: tensor del campo electromagnético

Lagrangiano:

$$L_0 = \bar{e} (i \gamma^{\mu} \partial_{\mu} - m_e) e + \bar{p} (i \gamma^{\mu} \partial_{\mu} - m_p) p - (1/4) F_{\mu\nu} F^{\mu\nu} - e A_{\mu} (\bar{e} \gamma^{\mu} e - \bar{p} \gamma^{\mu} p)$$

Emergencia:

Descripción de partículas libres y sus interacciones electromagnéticas sin gravedad.

FASE 1: Aparición de Neutrones y Neutrinos — Interacciones Débiles

Hipótesis:

Se incorporan interacciones débiles que permiten equilibrio entre neutrones y protones.

Campos:

- $n(x)$: campo del neutrón
- $v_e(x)$: campo del neutrino electrónico
- Bosones W^+ y W^- (campos mediadores)

Lagrangiano (término efectivo Fermi):

$$L_{\text{débil}} = -(G_F / \sqrt{2}) [\bar{p} \gamma^{\mu} (1 - \gamma^5) n] [\bar{e} \gamma_{\mu} (1 - \gamma^5) v_e] + \text{conjunto hermítico}$$

Emergencia:

Procesos como $n \leftrightarrow p + e^- + \bar{v}_e$, equilibrio químico protón-neutrón.

FASE 2: Decaimiento de Neutrones y Congelamiento Térmico

Hipótesis:

Las interacciones decrecen con la expansión, congelandola la relación $n/p \approx 1/7$.

Parámetros:

- Tiempo de vida del neutrón $\tau_n \approx 880$ s

Lagrangiano:

No se modifica, solo evolucionan condiciones térmicas.

Emergencia:

Congelamiento de abundancias nucleares, transición hacia nucleosíntesis.

FASE 3: Formación del Deuterón — Primer Núcleo Ligado

Hipótesis:

Protones y neutrones se combinan formando núcleos deuterones emitiendo fotones.

Campos:

- $D^{\mu}(x)$: campo vectorial del deuterón

Lagrangiano:

$$L_{pnD} = g_D D^\mu \bar{p} \gamma_\mu n + \text{conjunto hermítico}$$

$$L_D\gamma = -e D^\mu D^\nu F_{\mu\nu}$$

Emergencia:

Formación del primer núcleo estable, liberación de energía electromagnética.

FASE 4: Formación del Helio-4 (He-4)

Hipótesis:

Fusión de núcleos ligeros para formar helio-4.

Campos:

- $H(x)$: campo escalar para He-4

Lagrangiano:

$$L_{DDH} = g_H H D D + \text{conjunto hermítico}$$

Emergencia:

Producción masiva de He-4, base para formación atómica estable.

FASES 5 a 28: Completa Nucleosíntesis y Química Primordial

Hipótesis:

Procesos nucleares complejos, formación de átomos, moléculas simples y primeros sólidos.

Campos y términos:

- Campos de núcleos ligeros adicionales (Tritio, Helio-3)
- Campos atómicos y moleculares
- Interacciones electromagnéticas y nucleares entre ellos

Emergencia:

Formación química básica del universo, preparación para la química orgánica.

FASES 29 a 35: Origen y Evolución Biológica — Desde Célula hasta Autoconciencia

Hipótesis:

Aparecen campos celulares, metabólicos, genéticos y neuronales, dando origen a la vida y conciencia básica.

Campos:

- $C(x)$: células
- $M_{gen}(x)$: material genético
- $N(x)$: neuronas
- $R(x)$: redes neuronales

- $E(x)$: campo emocional
- $L_{int}(x)$: lenguaje interno o simbólico

Lagrangiano:

Incluye interacciones metabólicas, transmisión genética, redes neuronales y circuitos emocionales.

Emergencia:

Vida unicelular, multicelular, desarrollo de sistema nervioso y conciencia reflexiva.

FASES 36 a 37: Comunicación Social y Organización

Hipótesis:

Desarrollo del lenguaje natural, normas sociales, cooperación y jerarquías.

Campos:

- $L_i(x)$: lenguas naturales
- $\Phi(x)$: fonología
- $S_{ext}(x)$: símbolos compartidos
- $M_{com}(x)$: memoria colectiva
- $G(x)$: reglas sociales
- $R_{soc}(x)$: roles sociales
- $P(x)$: prestigio social

Lagrangiano:

Incorpora externalización simbólica, reglas, funciones sociales y dinámica jerárquica.

Emergencia:

Sociedades organizadas, cultura, transmisión social del conocimiento.

FASES 38 a 41: Tecnología, Ciencia y Computación

Hipótesis:

Manipulación del entorno, registro externo del conocimiento, construcción de modelos científicos y automatización.

Campos:

- $T(x)$: herramientas
- $M_{tec}(x)$: memoria tecnológica
- $W(x)$: escritura
- $M_{ext}(x)$: memoria externa
- $H_s(x)$: hipótesis científicas
- $D(x)$: datos experimentales
- $C(x)$: sistemas computacionales
- $A_{alg}(x)$: algoritmos

Lagrangiano:

Desarrolla procesos técnicos, registro, validación científica y computación simbólica.

Emergencia:

Ampliación del conocimiento, sistema científico, inteligencia artificial inicial.

FASE 42: Inteligencia Artificial Avanzada y Simbiosis Hombre-Máquina

Hipótesis:

Sistemas computacionales con aprendizaje avanzado y creatividad, integrándose biológicamente.

Campos:

- IA(x): inteligencia artificial avanzada
- BCI(x): interfaces cerebro-computadora
- S_syn(x): sinergia biológica-artificial

Lagrangiano:

Modela la interacción y fusión adaptativa entre IA y biología.

Emergencia:

Conciencia híbrida, expansión exponencial del conocimiento, retos éticos.

FASE 43: Conciencia Planetaria y Biotecnología Global

Hipótesis:

Integración de biosfera y noósfera en un sistema autorregulado con inteligencia distribuida.

Campos:

- Gaia(x): autorregulación ecosistémica
- Net_con(x): redes globales de comunicación
- Bio_eng(x): ingeniería genética y biotecnología

Lagrangiano:

Regula interacción entre ecosistemas, tecnologías y decisiones globales.

Emergencia:

Gestión planetaria consciente, diseño de nuevos ecosistemas, gobernanza global integrada.

Conclusión

Este Lagrangiano evolutivo acumulativo describe la trayectoria desde la nada cuántica hasta la emergente conciencia planetaria, integrando física fundamental, química, biología, cognición, sociedad, tecnología y futuro posible.

Síntesis estructurada del Lagrangiano evolutivo acumulativo

Lagrangiano total L

$$L = L_{\text{físico}} + L_{\text{nuclear}} + L_{\text{biológico}} + L_{\text{cognitivo}} + L_{\text{social}} + L_{\text{tecnológico}} + L_{\text{futurable}}$$

Donde cada término es:

1. **L_físico (Fase 0 a 4)**

Constantes fundamentales, campos elementales (electrones, protones, neutrones, fotones), interacción electromagnética y débil, formación de núcleos (deuterón, helio).

2. **L_nuclear (Fase 5 a 28)**

Procesos de nucleosíntesis completos, evolución térmica, química primordial, formación de átomos, moléculas básicas, estructuras físicas y químicas del universo temprano.

3. **L_biológico (Fase 29 a 35)**

Desde la célula hasta la autoconciencia: campos celulares, membranas, metabolismo, genética, neuronas, redes neuronales, emociones, lenguaje interno, conciencia reflexiva.

4. **L_social (Fase 36 a 37)**

Emergencia de lenguaje colectivo, normas, cooperación, estructura social, jerarquías, memoria cultural.

5. **L_tecnológico (Fase 38 a 41)**

Herramientas, escritura, ciencia, computación simbólica y automatización, memoria externa, conocimiento sistemático, inteligencia artificial inicial.

6. **L_futurable (Capítulo final)**

Campos y términos proyectados que integran inteligencia artificial avanzada, biotecnología global y conciencia planetaria.

FASE 0: Estado cuántico primordial — sin espacio-tiempo dinámico

Hipótesis:

Todavía no existe una métrica dinámica del espacio-tiempo. Solo hay constantes fundamentales y campos cuánticos sobre un fondo plano (o casi plano), sin estructura causal clásica.

Constantes y parámetros fundamentales:

- \hbar (h-barra): constante de Planck reducida
- c: velocidad de la luz
- e: carga del electrón
- m_e : masa del electrón
- m_p : masa del protón
- $\alpha = e^2 / (4\pi \hbar c)$: constante de estructura fina

Lagrangiano base (sin gravedad, solo electromagnetismo y fermiones):

$$L_0 = \bar{e} (i \gamma^\mu \partial_\mu - m_e) e + \bar{p} (i \gamma^\mu \partial_\mu - m_p) p - (1/4) F_{\mu\nu} F^{\mu\nu} - e A_\mu (\bar{e} \gamma^\mu e - \bar{p} \gamma^\mu p)$$

Campos involucrados:

- $e(x)$: campo del electrón
- $p(x)$: campo del protón
- A_μ : campo electromagnético
- $F_{\mu\nu} = \partial_\mu A_\nu - \partial_\nu A_\mu$: tensor de campo electromagnético

Este lagrangiano describe partículas libres (electrón y protón) y su interacción mediante el electromagnetismo.

FASE 1: Aparición de neutrones y neutrinos (vía interacciones débiles)

Se incorporan las interacciones débiles, fundamentales para mantener el equilibrio entre neutrones y protones.

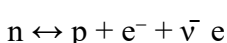
Nuevos campos:

- $n(x)$: campo del neutrón
- $\nu_e(x)$: campo del neutrino electrónico
- Interacciones mediadas por bosones W^+ y W^-

Término efectivo de interacción débil (Fermi):

$$L_{débil} = - (G_F / \sqrt{2}) [\bar{p} \gamma^\mu (1 - \gamma^5) n] [\bar{e} \gamma_\mu (1 - \gamma^5) \nu_e] + h.c.$$

Esto describe procesos como:



Es decir, un neutrón puede convertirse en un protón, un electrón y un antineutrino electrónico, y viceversa. Esto permite establecer un equilibrio químico entre protones y neutrones.

FASE 2: Decaimiento de neutrones y congelamiento térmico

Al descender la temperatura:

- Las tasas de interacción bajan y quedan por debajo del ritmo de expansión del universo.
- Aunque aún no se incluye la gravedad de forma explícita, se considera la evolución térmica.
- La relación entre neutrones y protones se congela en aproximadamente $n/p \approx 1/7$.

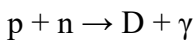
Decaimiento del neutrón:

$$\tau_n \approx 880 \text{ segundos} \Rightarrow n \rightarrow p + e^- + \bar{\nu}_e$$

El lagrangiano no cambia durante esta etapa, pero sí lo hacen las condiciones térmicas y la composición del plasma.

FASE 3: Formación del deuterón — primer núcleo ligado

Primera reacción nuclear significativa:



Aquí, D representa el deuterón, un núcleo formado por un protón y un neutrón ligados.

Término lagrangiano efectivo para la formación del deuterón (acoplamiento nuclear fuerte):

$$L_{pnD} = g_D D^\mu \bar{p} \gamma_\mu n + \text{h.c.}$$

Campos involucrados:

- D^μ : campo vectorial del deuterón
- g_D : constante de acoplamiento, determinada experimentalmente

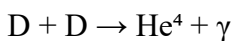
Término adicional para la interacción con el campo electromagnético (emisión de fotón):

$$L_{D\gamma} = -e D^\mu D^\nu F_{\mu\nu}$$

Esto permite describir la emisión del fotón en el proceso de formación del deuterón.

FASE 4: Formación del Helio-4 (He-4)

Reacción principal:



Otras vías posibles:

- $D + T \rightarrow He^4 + n$
- $D + {}^3He \rightarrow He^4 + p$

Modelo efectivo simplificado:

Se introduce un campo escalar H para representar el núcleo de helio.

Término lagrangiano efectivo para esta fusión:

$$L_{DDH} = g_H H D D + \text{h.c.}$$

Aquí:

- H: campo escalar del núcleo de helio-4

- g_H : constante de acoplamiento nuclear, ajustada a partir de datos experimentales
-

Resumen del lagrangiano total hasta la formación de He-4

$$L = L_0 + L_{\text{débil}} + L_{\text{pnD}} + L_{D\gamma} + L_{\text{DDH}}$$

Cada parte representa:

1. **L0**: partículas libres (electrones, protones) e interacción electromagnética
 2. **L_débil**: interacción débil responsable de transiciones entre protones y neutrones
 3. **L_pnD**: formación del deuterón (protón + neutrón)
 4. **L_Dγ**: emisión de fotón al formarse el deuterón
 5. **L_DDH**: fusión de deuterones para formar helio-4
-

FASE 5: Introducción de simetrías de gauge fundamentales

Hipótesis:

El universo ha evolucionado hacia una fase donde el espacio-tiempo clásico emerge y las interacciones fundamentales se describen mediante simetrías gauge locales. Se introduce el marco del modelo estándar.

Grupo gauge relevante (electrodébil):

$$SU(2)_L \times U(1)_Y \rightarrow U(1)_{EM}$$

Campos involucrados (resumen mínimo):

- $e_L(x), v_{eL}(x)$: doblete de $SU(2)_L$ (electrón y neutrino zurdo)
- $e_R(x)$: singlete (electrón diestro)
- $q_L(x)$: doblete de quarks (u_L, d_L)
- $u_R(x), d_R(x)$: quarks diestros
- $H(x)$: doblete de Higgs
- $W^\mu a_\mu(x)$: campos gauge de $SU(2)_L$
- $B_\mu(x)$: campo gauge de $U(1)_Y$

Lagrangiano gauge simplificado:

$$L_{\text{gauge}} = - (1/4) W^\mu a_\mu W^\nu a_\nu - (1/4) B_\mu B^\nu + |D_\mu H|^2 - V(H)$$

Donde:

- $W^\mu a_\mu$ y B_μ son los tensores de campo gauge
- D_μ es la derivada covariante incluyendo los campos gauge
- $V(H) = -\mu^2 H^\dagger H + \lambda (H^\dagger H)^2$ es el potencial de Higgs que induce la ruptura de simetría

Acoplamientos de Yukawa (generación de masas):

$$L_{\text{Yukawa}} = -y_e (\bar{L} H e_R) - y_u (\bar{q} \tilde{H} u_R) - y_d (\bar{q} H d_R) + h.c.$$

Donde:

- $L = (v_e L, e_L), q = (u_L, d_L)$
- \tilde{H} es el conjugado de Higgs: $\tilde{H} = i \sigma_2 H^*$
- y_e, y_u, y_d son las constantes de acoplamiento de Yukawa

Resultado:

La ruptura espontánea de simetría $SU(2)_L \times U(1)_Y \rightarrow U(1)_{EM}$ genera:

- Masas para W^+, W^- y Z
 - El fotón A_μ como combinación ortogonal sin masa
 - Masas efectivas para electrones y quarks vía Yukawa
-

FASE 6: Nucleosíntesis ligera extendida (hasta litio-7)

Hipótesis:

A medida que baja la temperatura, las reacciones nucleares entre deuterones, tritio y helio-3 dan lugar a núcleos más pesados como helio-4, litio-6 y litio-7.

Reacciones clave:

- $D + D \rightarrow T + p$
- $D + D \rightarrow He3 + n$
- $T + D \rightarrow He4 + n$
- $He3 + D \rightarrow He4 + p$
- $He3 + T \rightarrow Li6 + \gamma$
- $He4 + T \rightarrow Li7 + \gamma$

Campos nuevos:

- $T(x)$: campo escalar del tritio
- $He3(x)$: campo escalar del helio-3
- $Li6(x), Li7(x)$: campos escalares efectivos para los núcleos de litio

Términos lagrangianos efectivos (modelo fenomenológico):

$$L_{Tritio} = g_T T T D D + h.c.$$

$$L_{He3} = g_{He3} He3 He3 D D + h.c.$$

$$L_{Li6} = g_{Li6} Li6 T He3 + h.c.$$

$$L_{Li7} = g_{Li7} Li7 T He4 + h.c.$$

Resumen del lagrangiano total hasta el litio:

$$L_{total} = L_0 + L_{débil} + L_{gauge} + L_{Yukawa} + L_{pnD} + L_{D\gamma} + L_{DDH} + L_{Tritio} + L_{He3} + L_{Li6} + L_{Li7}$$

FASE 7: Introducción de la capa biológica (post-nucleosíntesis)

Hipótesis:

Tras la nucleosíntesis, el universo forma átomos, moléculas y eventualmente estructuras vivas. Proponemos una descripción efectiva basada en campos colectivos y dinámicas autoorganizativas.

Campos efectivos:

- $\Psi_i(x)$: representa diferentes componentes moleculares (aminoácidos, nucleótidos, lípidos)
- $\Phi_{env}(x)$: representa campos ambientales (radiación, temperatura, fuentes energéticas)

Interacciones:

$$L_{bio} = \sum_i [\Psi_i (i \gamma^\mu \partial_\mu - m_i) \Psi_i] + \sum_{ijk} \lambda_{ijk} \Psi_i \Psi_j \Phi_k + h.c.$$

Aquí:

- λ_{ijk} : coeficientes de interacción catalítica entre componentes moleculares
- El término representa reacciones químicas y procesos de autoorganización prebióticos

Extensión dinámica:

También se pueden representar evoluciones temporales fuera del equilibrio:

$$d\Psi_i/dt = f_i(\Psi, T, \Phi_{env}) + \eta_i(t)$$

- f_i : función no lineal que describe procesos de replicación, metabolismo o autorreparación
 - $\eta_i(t)$: ruido térmico o cuántico ambiental
-

FASE 8: Formación de moléculas orgánicas simples (química prebiótica)

Hipótesis:

En ambientes ricos en hidrógeno, carbono, nitrógeno, oxígeno y fósforo, bajo condiciones energéticas favorables (rayos UV, relámpagos, fuentes hidrotermales), se forman moléculas orgánicas simples como aminoácidos, ácidos grasos y nucleótidos.

Campos efectivos:

- $\Psi_{AA}(x)$: campo escalar para aminoácidos
- $\Psi_L(x)$: campo escalar para lípidos
- $\Psi_N(x)$: campo escalar para nucleótidos
- $\Phi_{env}(x)$: campo efectivo para la fuente de energía (fotones UV, calor, choques)

Interacciones catalíticas y energéticas:

$$L_{prebio} = \sum_i \Psi_i (i \partial^\mu \partial_\mu - m_i^2) \Psi_i + \sum_{ijk} \lambda_{ijk} \Psi_i \Psi_j \Phi_{env} + h.c.$$

Donde:

- m_i : masas efectivas de los precursores químicos
- λ_{ijk} : acoplamientos que representan reacciones inducidas energéticamente

- Ejemplos: síntesis de alanina, timina, ácidos grasos saturados
-

FASE 9: Autoensamblaje molecular y formación de protocélulas

Hipótesis:

Moléculas orgánicas se autoorganizan por fuerzas hidrofóbicas, enlaces de hidrógeno y estructuras espontáneas, dando lugar a:

- Bicapa lipídica (membrana)
- Polímeros (péptidos, ARN)
- Compartimentalización

Campos adicionales:

- $M(x)$: campo tensorial de membrana
- $R(x)$: campo escalar del ARN prebiótico
- $C(x)$: campo escalar del compartimiento proto-celular

Interacciones efectivas de autoorganización:

$$L_{\text{proto}} = L_{\text{prebio}} + g_L (\Psi_L \Psi_L) M + g_P (\Psi_{AA} \Psi_{AA}) R + g_C (M R \Psi_N) C + h.c.$$

Donde:

- g_L, g_P, g_C : constantes de autoensamblaje determinadas por condiciones termodinámicas
 - Se modela la formación espontánea de membranas, cadenas peptídicas y sistemas encapsulados
-

FASE 10: Emergencia de replicación y metabolismo rudimentario

Hipótesis:

Algunos polímeros (como el ARN) desarrollan la capacidad de autorreplicarse, mientras que reacciones químicas intracelulares permiten un ciclo metabólico mínimo.

Nuevos campos y procesos:

- $R^*(x)$: campo de ARN replicante
- $M_{\text{enz}}(x)$: campo de catálisis interna (precursores de enzimas)
- $\Psi_E(x)$: campo energético (ATP, protones)

Lagrangiano funcional:

$$L_{\text{replicación}} = \bar{R} (i \partial_\mu \partial^\mu - m_R R^2) R + \epsilon R R R^* + h.c.$$

$$L_{metabolismo} = g_{metab} M_{enz} \Psi_N \Psi_{AA} \Psi_E + h.c.$$

Características:

- ε : parámetro de replicación autocatalítica
 - g_{metab} : coeficiente de eficiencia metabólica rudimentaria
 - El sistema presenta ciclos cerrados tipo autopoesis
-

FASE 11: Emergencia de sistemas vivos primitivos

Hipótesis:

Cuando un sistema tiene:

1. Una frontera física estable (membrana)
2. Un metabolismo interno
3. Capacidad de reproducción con variación
4. Mecanismos de herencia (información codificada)

...entonces se considera "vivo" en términos funcionales.

Construcción efectiva del sistema autoconsistente:

Campos:

- $\Psi_V(x)$: campo funcional de la protocélula viva
- $I(x)$: campo informacional (ARN con capacidad hereditaria)
- $S_{env}(x)$: entorno selectivo (condiciones dinámicas)

Lagrangiano completo de vida emergente:

$$L_{viva} = L_{proto} + L_{replicación} + L_{metabolismo} \\ + g_H (I \Psi_V I) \\ + f_{sel} (\Psi_V I S_{env}) + h.c.$$

Donde:

- g_H : interacción hereditaria que asegura transferencia de información
 - f_{sel} : término que modela la interacción del sistema con el ambiente, introduciendo presión evolutiva (base de la selección natural)
-

Resumen de lagrangiano total (desde el universo primordial hasta protocélulas vivas)

$$L_{total} =$$

$$L_0 + L_{débil} + L_{gauge} + L_{Yukawa}$$

- $L_{pnD} + L_{D\gamma} + L_{DDH}$
- $L_{Tritio} + L_{He3} + L_{Li6} + L_{Li7}$
- $L_{prebio} + L_{proto} + L_{replicación} + L_{metabolismo} + L_{viva}$

FASE 12: Transición del mundo ARN al mundo ADN-proteína

Hipótesis:

El sistema basado en ARN evoluciona hacia uno donde el almacenamiento de información se transfiere al ADN (más estable), y las funciones catalíticas se especializan en proteínas.

Nuevos campos:

- $D(x)$: campo escalar para el ADN
- $T(x)$: campo tensorial para la transcripción (ARN polimerasa primitiva)
- $TL(x)$: campo tensorial para la traducción (ribosoma primitivo)
- $P(x)$: campo escalar para proteínas emergentes

Interacciones funcionales:

$L_{genética} =$

- $g_T (D T R) + h.c.$ (transcripción: ADN \rightarrow ARN)
- $g_{TL} (R TL P) + h.c.$ (traducción: ARN \rightarrow proteína)

Resumen:

- El campo D almacena información hereditaria
- T y TL median procesos bioquímicos funcionales
- P representa las proteínas estructurales y catalíticas

FASE 13: Organización celular moderna — célula procariota

Hipótesis:

El sistema se estabiliza como una célula procariota completa, con membrana, núcleo difuso, maquinaria genética y metabolismo completo.

Campos y componentes clave:

- $M(x)$: membrana celular
- $C_{cito}(x)$: campo del citoplasma
- $E(x)$: enzimas metabólicas
- $Ribo(x)$: ribosoma (TL)
- $Gen(x)$: red de genes codificantes
- $ATP(x)$: campo escalar de energía

Lagrangiano celular:

$L_{procariota} =$

- $L_{genética}$
- $\sum E_i (\Psi_{substrato} \Psi_{producto})$
- $g_{ATP} (\Psi_{nutrientes} \rightarrow ATP \rightarrow E_i)$
- $L_{membrana} + L_{citoplasma} + L_{regulación}$

Nota:

Se integran múltiples capas de regulación genética, señalización bioquímica y flujos energéticos internos (respiración celular, gradientes de protones, etc.)

FASE 14: Dimensión informacional de la vida

Hipótesis:

La vida puede verse como un sistema procesador de información y generador de orden, actuando como estructura disipativa lejos del equilibrio.

Campos informacionales:

- $I_{gen}(x)$: campo de información genética
- $I_{fen}(x)$: campo de expresión fenotípica
- $R_{info}(x)$: campo de retroalimentación entre gen y entorno

Interacciones informacionales:

$L_{info} =$

- $I_{gen} \rightarrow I_{fen}$ (traducción funcional)
- $I_{fen} \leftrightarrow S_{env}$ (adaptación fenotípica)
- $R_{info} (I_{gen} S_{env} \rightarrow I_{gen}')$ (evolución genética por presión ambiental)

Significado:

- Se formaliza la evolución como flujo informacional modulado por el entorno
 - Introduce mecanismos de aprendizaje biológico, adaptación, y memoria evolutiva
-

FASE 15: Termodinámica del sistema vivo

Hipótesis:

Los seres vivos son sistemas disipativos que intercambian energía y materia con el entorno para mantener un estado de organización interna baja en entropía.

Campos y funciones termodinámicas:

- $\Phi_E(x)$: flujo de energía (entrada y disipación)
- $S(x)$: campo escalar de entropía
- $\eta(t)$: fluctuaciones térmicas y ambientales

Lagrangiano termodinámico efectivo:

$L_{termo} =$

- $\Phi_E \Psi_V - T S(\Psi_V)$
- $d\Psi_V/dt = \partial L_{total}/\partial \Psi_V + \eta(t)$

Interpretación:

- La vida es sostenida por una constante absorción de energía y disipación de entropía

- El sistema se mantiene lejos del equilibrio gracias a Φ_E
 - $\eta(t)$ representa ruido externo, base de variación evolutiva
-

Resumen del lagrangiano total extendido hasta la célula moderna

$L_{\text{total}} =$

$L_{\text{físico}} (L_0 + L_{\text{débil}} + L_{\text{gauge}} + L_{\text{Yukawa}})$

- L_{nuclear} ($L_{\text{pnD}} + L_{\text{D}\gamma} + L_{\text{DDH}} + L_{\text{Tritio}} + \dots$)
 - $L_{\text{químico}}$ ($L_{\text{prebio}} + L_{\text{proto}} + L_{\text{replicación}} + L_{\text{metabolismo}} + L_{\text{viva}}$)
 - $L_{\text{biológico}}$ ($L_{\text{genética}} + L_{\text{procariota}}$)
 - $L_{\text{informacional}}$ (L_{info})
 - $L_{\text{termodinámico}}$ (L_{termo})
-

FASE 16: Regulación génica y redes de control intracelular

Hipótesis:

Los genes no solo se expresan, sino que su expresión es regulada dinámicamente por proteínas específicas (factores de transcripción), formando **redes génicas** que controlan el comportamiento celular.

Campos nuevos:

- $TF(x)$: campo tensorial de factores de transcripción
- $G_i(x)$: campo escalar para el gen i -ésimo
- $R(x)$: campo efectivo de la red reguladora génica

Interacciones de regulación:

$L_{\text{regulación}} =$

- $\sum G_i (TF_i G_i)$ (activación o represión)
- $R(TF_i, G_j, P_k)$ (módulo regulador completo)
- Feedback ($G_i \rightarrow TF_i$) (bucles de retroalimentación)

Resultado:

- La célula puede responder diferencialmente a estímulos internos y externos
 - Aparecen comportamientos como "switches" genéticos, osciladores, y respuestas adaptativas
-

FASE 17: Señalización intracelular y transducción de señales

Hipótesis:

Las células interpretan señales externas (nutrientes, estrés, ligandos) a través de cascadas de señalización intracelular que modulan la actividad génica y metabólica.

Campos involucrados:

- $L(x)$: campo del ligando externo
- $RCP(x)$: campo tensorial de receptor de membrana
- $Kin(x)$: campo escalar de quinasa intracelular
- $TF(x)$: factores de transcripción activados por señal

Lagrangiano funcional:

$L_{señalización} =$

- $L RCP + RCP Kin + Kin TF + TF G_i$
- $G_i P_i$ (efector final)

Características:

- Modela la **transducción de señal** en cascada (tipo MAPK, JAK-STAT, etc.)
 - Permite adaptación rápida a cambios ambientales
 - Introduce jerarquía de procesamiento bioquímico
-

FASE 18: Diferenciación celular y estados estables

Hipótesis:

Las células pueden especializarse adoptando distintos perfiles de expresión génica, definidos por estados estables (atractores) en la dinámica de la red génica.

Campos clave:

- $S(x)$: campo escalar de "estado celular"
- $\Phi_{dif}(x)$: potencial de diferenciación

Lagrangiano de diferenciación:

$L_{diferenciación} =$

- $\partial S / \partial t = - \partial \Phi_{dif}(S) / \partial S + \eta(x,t)$
- $\Phi_{dif}(S) = \sum a_i G_i^2 - \sum b_{ij} G_i G_j$

Interpretación:

- Φ_{dif} tiene múltiples mínimos → diferentes tipos celulares
 - $\eta(x,t)$: fluctuaciones epigenéticas y ambientales
 - Describe cómo un tipo celular emerge de un precursor común
-

FASE 19: Epigenética y memoria celular

Hipótesis:

Modificaciones químicas del ADN (metilación) y de histonas modulan la expresión génica sin cambiar la secuencia genética → memoria heredable no codificada.

Campos epigenéticos:

- Epi_D(x): campo de metilación del ADN
- H_mod(x): campo de modificación de histonas

Interacción con regulación génica:

L_epigenética =

- Epi_D G_i → G_i' (represión)
- H_mod G_i → G_i'' (activación o represión)
- Feedback de G_i sobre Epi_D (auto-regulación)

Resultado:

- Estabilidad de estados celulares diferenciados
 - Capacidad de memoria celular (esencial en desarrollo y cáncer)
-

FASE 20: Redes metabólicas integradas

Hipótesis:

El metabolismo celular está compuesto por rutas interconectadas (glucólisis, ciclo de Krebs, fosforilación oxidativa), acopladas a la disponibilidad energética y a la regulación génica.

Campos involucrados:

- $\Psi_{substrato}(x)$, $\Psi_{producto}(x)$
- $E_k(x)$: campo escalar de enzima k
- ATP(x): campo escalar energético

Lagrangiano metabólico expandido:

L_metabólico =

- $\sum E_k \Psi_{substrato} \Psi_{producto}$
- ATP(E_k)
- Feedback (ATP → expresión de E_k)

Propiedades:

- Se introduce **retroalimentación entre energía y metabolismo**
 - El sistema se autorregula según condiciones internas y externas
-

FASE 21: Interacción célula-entorno — sistema abierto y adaptativo

Hipótesis:

La célula está abierta al entorno. Su comportamiento resulta de flujos dinámicos de materia, energía e información.

Campos de interacción externa:

- Env_chem(x): campo de condiciones químicas externas
- Stress(x): campo tensorial de estrés oxidativo, térmico, etc.
- Nutrientes(x): concentración externa de nutrientes

Lagrangiano total celular:

$L_{\text{celular}} =$

$L_{\text{genética}} + L_{\text{regulación}} + L_{\text{señalización}}$

- $L_{\text{diferenciación}} + L_{\text{epigenética}}$
 - $L_{\text{metabólico}} + L_{\text{interacción_ext}}$
 - $L_{\text{feedback}}(\text{ambiente} \leftrightarrow \text{célula})$
-

Resumen de la fase celular completa (unicelularidad compleja)

En este punto, el sistema:

- Procesa información (genética, epigenética, ambiental)
 - Se adapta mediante regulación dinámica
 - Mantiene identidad por memoria epigenética
 - Tiene metabolismo interno autosuficiente
 - Puede diferenciarse y adoptar estados funcionales
 - Opera como sistema abierto con flujos de energía y materia
-

FASE 22: Señalización intercelular y coordinación multicelular básica

Hipótesis:

Las células comienzan a comunicarse entre sí mediante señales químicas difusibles o contacto directo, permitiendo la cooperación y sincronización de actividades.

Campos nuevos:

- Sig_mol(x): campo escalar de molécula señal (ej. citoquinas, hormonas)
- Rec_j(x): campo tensorial de receptores celulares específicos
- C_i(x): campo de identidad celular i

**Interacción:

$L_{\text{intercelular}} = **$

- $\sum \text{Sig}_\text{mol} \text{Rec}_j \rightarrow \text{TF}_j \rightarrow \text{G}_j$

- Feedback: $C_i \leftrightarrow Sig_mol$
- Comunicación directa: $J(x)$ (conexiones tipo *gap junction*)

Resultado:

- Las células detectan presencia y estado de vecinas
 - Comienzan a formar patrones espaciales de respuesta coordinada
 - Aparece el concepto de "microambiente"
-

FASE 23: Adhesión celular y organización espacial

Hipótesis:

Las células desarrollan mecanismos de adhesión que permiten mantenerse unidas, formar tejidos y diferenciar regiones dentro de un organismo.

Campos involucrados:

- $CAM(x)$: campo tensorial de moléculas de adhesión celular (ej. cadherinas)
- $ECM(x)$: matriz extracelular que estructura el entorno
- $Pos(x)$: coordenadas relativas dentro del cúmulo celular

Lagrangiano estructural:

$L_{adhesión} =$

- $CAM_i CAM_j \delta(Pos_i - Pos_j)$
- $CAM_i ECM + ECM$ dinámica(Pos)
- $\nabla CAM \rightarrow$ migración celular dirigida

Efecto:

- Las células se agrupan por afinidad y se organizan espacialmente
 - Aparecen estructuras como capas celulares y polaridad
 - Se forma un entorno externo funcional (ECM) que media la señalización
-

FASE 24: Diferenciación dirigida por posición — gradientes morfogenéticos

Hipótesis:

Gradientes químicos generados por células señalizadoras determinan el destino celular según la posición en el espacio → *patrón de desarrollo*.

Campos clave:

- $M(x)$: campo escalar de morfógeno (molécula señal)
- $\Phi_M(x)$: potencial espacial del gradiente
- $D_C(x)$: decisión de destino celular

Lagrangiano morfogenético:

$L_{\text{morfo}} =$

- $\nabla^2 M - V(M) = 0$ (difusión y degradación)
- $D_C = f(M(x), \text{threshold})$
- $D_C \rightarrow G_i$ (activación génica específica)

Significado:

- Se establece el destino celular por la posición dentro del organismo
 - El gradiente $M(x)$ actúa como coordenada espacial embrionaria
 - Se inicia la morfogénesis
-

FASE 25: Formación de tejidos — especialización colectiva

Hipótesis:

Las células con destino común cooperan para formar tejidos funcionales con arquitectura específica, metabolismo compartido y tareas especializadas.

Campos y componentes:

- $T_i(x)$: campo del tejido i -ésimo
- $J_{\text{func}}(x)$: función especializada del tejido
- $S_i(x)$: señal de mantenimiento del fenotipo

Lagrangiano de tejidos:

$L_{\text{tejidos}} =$

- $T_i = \sum C_k$ con mismo D_C
- $J_{\text{func}}(T_i) = \sum P_k$ expresados colectivamente
- $S_i \leftrightarrow TF_k$ (mantenimiento fenotípico)

Ejemplos:

- T_{neuronal} (transmisión eléctrica)
 - $T_{\text{epitelial}}$ (barrera y absorción)
 - T_{muscular} (contracción coordinada)
-

FASE 26: Circuitos inter-tisulares y órganos funcionales

Hipótesis:

Tejidos diferentes se agrupan para formar órganos funcionales (ej. corazón, hígado), con flujos de materia y señales entre ellos.

Campos adicionales:

- $Org(x)$: campo del órgano

- $\Phi_{\text{interT}}(x)$: flujo de información o sustancias entre tejidos
- $C_{\text{Sist}}(x)$: control sistémico (ej. hormonal, nervioso)

Lagrangiano de órganos y circuitos:

$L_{\text{órganos}} =$

- $\text{Org} = \sum T_i$ integrados
- $\Phi_{\text{interT}}(T_i, T_j) =$ transporte dirigido
- $C_{\text{Sist}}(x)$ regula T_i mediante feedback global

Ejemplo funcional:

- Hormona H desde glándula A → actúa sobre T_b del órgano B → respuesta específica → retroalimentación negativa
-

FASE 27: Desarrollo embrionario y programación temporal

Hipótesis:

El organismo no solo se organiza espacialmente sino también **temporalmente**. Genes homeóticos y factores de desarrollo activan en secuencia.

Campos temporales:

- $Hox_n(t,x)$: campo del gen homeótico n
- $Clock(x)$: campo oscilador de desarrollo (temporizador)
- $Tree_{\text{dev}}(x)$: árbol de decisiones de linaje

Lagrangiano de desarrollo:

$L_{\text{desarrollo}} =$

- $Hox_n(t,x) \rightarrow$ patrones espaciales y temporales
- $Clock(x)$ modula expresión de G_i
- $Tree_{\text{dev}} = \sum D_C i(t)$ según historia celular

Resultado:

- El organismo se forma en una coreografía espacio-temporal
 - Se establece el plan corporal y la arquitectura global
-

FASE 28: Organismo multicelular funcional y homeostasis

Hipótesis:

El organismo opera como un **sistema unificado**, con sensores, efectores, control interno, flujo energético y estabilidad sistémica (homeostasis).

Campos globales:

- $H(x)$: campo de estado homeostático

- $S(x)$: sensores del sistema (ej. nerviosos, químicos)
- $E(x)$: efectores (musculares, hormonales, inmunes)

Lagrangiano total multicelular:

$L_{multicelular} =$

$L_{intercelular} + L_{adhesión} + L_{morfo}$

- $L_{tejidos} + L_{órganos} + L_{desarrollo}$
 - $H(S, E) \rightarrow dH/dt \approx 0$ (mantenimiento del equilibrio)
-

Resumen hasta la fase multicelular

El sistema biológico ha evolucionado a:

- Coordinar múltiples tipos celulares
 - Desarrollar tejidos y órganos
 - Integrar señales y funciones en el tiempo
 - Mantener estabilidad interna (homeostasis)
 - Seguir un programa dinámico espacio-temporal de desarrollo
-

FASE 29: Aparición del sistema nervioso — comunicación electroquímica dirigida

Hipótesis:

Ciertas células se especializan en la transmisión rápida y precisa de señales. Nace la red neuronal. Aparece el concepto de *información interna* diferenciada del entorno inmediato.

Campos nuevos:

- $N_i(x)$: campo del tipo de neurona i
- $Ax_j(x), Dend_k(x)$: campos morfológicos (axón, dendrita)
- $V_m(x,t)$: campo de potencial eléctrico de membrana
- $NT(x)$: campo escalar de neurotransmisores
- $Syn(x)$: campo tensorial de sinapsis funcionales

Lagrangiano neuronal:

$L_{neuro} =$

- $\partial_t V_m = -\nabla \cdot J_{ion} + I_{synaptic}$
- $Syn(x) = Ax_j \leftrightarrow Dend_k + NT \text{ release}$
- $N_i \leftrightarrow T_{Cod}(x)$: codificación de señales específicas

Resultado:

- Transmisión dirigida de señales dentro del organismo

- Formación de circuitos funcionales simples
 - Diferenciación entre entrada (sensorial) y salida (motora)
-

FASE 30: Redes neuronales recurrentes — procesamiento y memoria

Hipótesis:

Las neuronas se interconectan en redes con retroalimentación, creando circuitos capaces de integrar información y modificar su estado según el historial.

Campos nuevos:

- $W_{ij}(x)$: campo del peso sináptico (fortaleza conexión entre neuronas i y j)
- $M(x,t)$: campo de memoria de corto y largo plazo
- $P(x,t)$: campo de plasticidad sináptica (LTP, LTD)

Lagrangiano de redes cognitivas:

$L_{redes} =$

- $M(x,t) = \int W_{ij}(t') N_i(t') N_j(t') dt'$
- $dW_{ij}/dt = f(P(x,t), \text{actividad}, NT, Ca^{2+})$
- Retroalimentación: $N_i \rightarrow N_j \rightarrow N_i \rightarrow$ ciclo estable

Consecuencias:

- Capacidad de memoria asociativa
 - Aparición de estados internos persistentes
 - Capacidad de aprendizaje dependiente de experiencia
-

FASE 31: Módulos sensoriales y representación interna del entorno

Hipótesis:

El sistema nervioso crea mapas del entorno y del cuerpo, permitiendo acciones anticipadas y respuestas adaptativas.

Campos adicionales:

- $S_m(x)$: campo sensorial modal m (luz, sonido, tacto...)
- $R_m(x)$: campo de representación interna
- $A(x)$: campo de atención moduladora

Lagrangiano de percepción integrada:

$L_{sensorial} =$

- $R_m(x) = F(S_m(x), \text{contexto})$

- $A(x) \leftrightarrow$ modula ganancia sináptica de R_m
- $\sum R_m \rightarrow f(R_{total})$: integración multisensorial

Significado:

- El organismo ya no reacciona solo; interpreta
 - Se generan modelos internos predictivos
 - Aparece el *mapa del mundo* interno
-

FASE 32: Sistema motor organizado y retroalimentado

Hipótesis:

Las representaciones internas guían acciones dirigidas. Las salidas motoras se ajustan por retroalimentación sensorial.

Campos nuevos:

- $M_o(x)$: campo de planificación motora
- $Act(x)$: campo de activación muscular u operativa
- $Err(x)$: campo de error sensorial-motor

**Lagrangiano motor:

$L_{motor} =$ **

- $Act(x) = f(M_o(x), \text{aprendizaje previo})$
- Feedback: $Act(x) \rightarrow S_m(x) \rightarrow Err(x)$
- $dM_o/dt \propto -\partial Err/\partial Act$

Resultado:

- Movimiento dirigido, adaptado al entorno
 - Aprendizaje motor (coordinación, equilibrio)
 - Comienza el concepto de *agencia*
-

FASE 33: Aparición de emociones y sistemas motivacionales

Hipótesis:

Ciertas combinaciones sensoriales e internas activan estados globales que modifican percepción, memoria y acción. Surgen las emociones como sistemas de peso funcional evolutivo.

Campos emocionales:

- $E_m(x)$: campo de emoción m (ej. miedo, placer, sorpresa)
- $D(x)$: campo de dopamina y neuromoduladores
- $Val(x)$: campo de valoración interna del estado

Lagrangiano emocional:

$L_{emoción} =$

- $E_m(x) \leftrightarrow$ modula $L_{sensorial}$, L_{motor} , $L_{memoria}$
- $D(x) \leftrightarrow$ predicción de recompensa
- $dVal/dt =$ recompensa esperada – real

Significado:

- El sistema aprende por recompensa y castigo
 - Aumenta la adaptabilidad, decisiones más complejas
 - Aparece rudimento de motivación y preferencia
-

FASE 34: Cognición simbólica y lenguaje interno

Hipótesis:

Representaciones internas se organizan en estructuras simbólicas combinatorias. Aparece el protolenguaje y capacidad lógica.

Campos simbólicos:

- $S_i(x)$: símbolo i
- $R(S_i, S_j)$: relación entre símbolos
- G_s : gramática interna de combinaciones

Lagrangiano simbólico:

$L_{simbólico} =$

- $S_i = f(R_m(x), abstracción)$
- $R(S_i, S_j) \leftrightarrow$ estructura lógica
- G_s determina combinaciones válidas

Resultado:

- Capacidad de modelar conceptos y relaciones abstractas
 - Comunicación simbólica incipiente
 - Nace el pensamiento estructurado
-

FASE 35: Conciencia reflexiva y autoconciencia

Hipótesis:

El sistema forma un modelo interno de sí mismo como entidad que percibe, actúa y aprende. Surge el *yo* fenomenológico.

Campos metacognitivos:

- $S_{self}(x)$: campo de autopercepción
- $M_{int}(x)$: campo de introspección y reflexión

- $D_{meta}(x)$: decisiones dirigidas a la regulación del propio sistema

Lagrangiano de conciencia:

$L_{conciencia} =$

- $S_{self} = f(R_{total}, cuerpo, memoria)$
- $M_{int} = \text{monitoreo de } R, E, Act$
- D_{meta} regula $R_m, M_o, E_m \rightarrow \text{metacontrol}$

Consecuencias:

- El sistema se *observa a sí mismo*
 - Capacidad de toma de decisiones consciente
 - Surge la intención dirigida y ética básica
-

A partir de aquí son fases de biología colectiva, grupos de humanos, lenguaje hablado escrito y demás redes de información/comunicación/organización colectivas, que tienen que poder explicar las estructuras sociales o roles desde insectos a humanos con neocortex.

?→ FASE 36: Comunicación simbólica colectiva — lenguaje natural

Hipótesis:

Las representaciones simbólicas internas son externalizadas y compartidas mediante señales sonoras, visuales o gestuales codificadas: nace el lenguaje.

Campos nuevos:

- $L_i(x)$: campo de lengua natural i
- $\Phi(x)$: campo fonológico (sonidos)
- $S_{ext}(x)$: campo de símbolos compartidos (palabras)
- $M_{com}(x)$: memoria colectiva lingüística

Lagrangiano lingüístico-social:

$L_{lenguaje} =$

- $S_{ext}(x) = \text{externalización de } S_i(x) \text{ mediante } \Phi(x)$
- $\Phi(x) \leftrightarrow \text{percepción auditiva/visual de otro}$
- $L_i(x) \leftrightarrow \text{codifica y decodifica } R(S_i, S_j)$
- $M_{com}(x)$: evolución cultural del vocabulario

Emergencia:

- Comunicación compleja entre agentes
 - Coordinación social, transmisión de conocimientos
 - Aparición del tiempo narrativo y cultura oral
-

?□° ✓ FASE 37: Organización social jerárquica y cooperación

Hipótesis:

Las emociones, el lenguaje y la memoria colectiva permiten coordinación social compleja. Se forman estructuras jerárquicas, normas, cooperación extensiva.

Campos nuevos:

- $G(x)$: campo de reglas sociales (normas)
- $R_{soc}(x)$: campo de roles sociales
- $F(x)$: campo de función social (cazador, cuidador, líder...)
- $P(x)$: campo de prestigio o posición relativa

Lagrangiano social:

$L_{social} =$

- $R_{soc}(x) \leftrightarrow$ función del individuo en $G(x)$
- $G(x)$: reglas que modulan acción y castigo/recompensa social
- $P(x) =$ función de contribución y validación por grupo

Emergencia:

- Normas, tabúes, contratos implícitos
- División del trabajo
- Mecanismos de justicia y moral colectiva

?□° ¶ FASE 38: Herramientas y tecnología primitiva

Hipótesis:

Capacidad de planificar y modelar permite fabricar objetos funcionales. El entorno es modificado como extensión del cuerpo.

Campos nuevos:

- $T(x)$: campo de herramientas
- $I_m(x)$: intención motora con fines constructivos
- $M_{tec}(x)$: memoria tecnológica

Lagrangiano técnico:

$L_{tecnología} =$

- $T(x) =$ resultado de $Act(x)$ bajo guía de M_o y plan cognitivo
- $T(x) \leftrightarrow$ modifica condiciones sensoriales
- $M_{tec}(x)$: codificación transgeneracional de técnicas

Emergencia:

- Ampliación radical de capacidades físicas
 - Nace el concepto de *utilidad externa*
 - Comienza la transmisión no genética de adaptaciones
-

? 7 FASE 39: Escritura y registro externo de información

Hipótesis:

La memoria y el lenguaje se externalizan en símbolos persistentes. Nace la historia, la ley, y el conocimiento acumulado fuera del cuerpo.

Campos nuevos:

- $W(x)$: campo de escritura (símbolos codificados en soporte)
- $M_{ext}(x)$: campo de memoria externa
- $R_{doc}(x)$: campo de recuperación de información documentada

Lagrangiano documental:

$L_{documental} =$

- $W(x) = \text{codificación de } S_i(x) \text{ sobre medio físico}$
- $M_{ext}(x) = \sum W(x) \text{ en el entorno}$
- $R_{doc}(x) \leftrightarrow \text{decodifica } M_{ext}(x) \rightarrow M_{int}(x)$

Emergencia:

- Acumulación masiva de conocimiento
 - Expansión del tiempo histórico
 - Base para ciencia, religión organizada, leyes formales
-

? FASE 40: Ciencia — modelos sistemáticos del mundo

Hipótesis:

El sistema construye modelos simbólicos autoconsistentes que explican y predicen el comportamiento del entorno físico y biológico.

Campos nuevos:

- $H_s(x)$: campo de hipótesis científicas
- $D(x)$: campo de datos experimentales
- $V(x)$: campo de validación empírica
- $T_{sci}(x)$: campo de teorías codificadas

Lagrangiano científico:

$L_{ciencia} =$

- $H_s(x) \leftrightarrow R_{total} + M_{ext}(x) + M_{int}(x)$

- $D(x) \leftrightarrow$ comparación real \rightarrow predicción
- $V(x) = \partial D / \partial H_s(x)$
- $T_{sci}(x) \leftrightarrow$ hipótesis validadas acumuladas

Emergencia:

- Método científico
 - Teorías físicas, biológicas, sociales
 - Retroalimentación consciente del conocimiento
-

?□° ✕ FASE 41: Computación simbólica y automatización

Hipótesis:

Las reglas cognitivas se implementan en sistemas físicos no biológicos. Aparece la computación.

Campos nuevos:

- $C(x)$: campo computacional
- $L_{prog}(x)$: campo de lenguajes formales de programación
- $A_{alg}(x)$: campo de algoritmos

Lagrangiano computacional:

$L_{computación} =$

- $A_{alg}(x) =$ funciones de transformación de $S_i(x)$
- $C(x)$ ejecuta $A_{alg}(x)$ bajo $L_{prog}(x)$
- Interfaz: $R_m \leftrightarrow C(x) \leftrightarrow T(x)$

Emergencia:

- Simulación del pensamiento
- Automatización de procesos simbólicos
- **Expansión de la inteligencia por medios no biológicos**

Capítulo Final: Horizonte Futurable — Inteligencia Artificial y Biotecnología Global

FASE 42: Inteligencia Artificial avanzada y simbiosis hombre-máquina

Hipótesis:

Sistemas computacionales adquieren niveles de cognición, aprendizaje y creatividad comparables o superiores a los humanos, integrándose en sistemas biológicos.

Campos nuevos:

- IA(x): campo de inteligencia artificial avanzada
- BCI(x): interfaz cerebro-computadora
- S_syn(x): campo de sinergia biológica y artificial

Lagrangiano IA-bio:

L_IA-bio =

- IA(x) \leftrightarrow aprendizaje profundo y creatividad
- BCI(x) = interfaz bidireccional
- S_syn(x) = f(IA, M_int, Act) \rightarrow simbiosis adaptativa

Emergencia:

- Expansión exponencial del conocimiento y capacidades
 - Nuevas formas de conciencia híbrida
 - Desafíos éticos y ontológicos
-

FASE 43: Conciencia planetaria y biotecnología global

Hipótesis:

La biosfera y la noósfera (conocimiento colectivo) se integran en un sistema complejo autorregulado con inteligencia distribuida a escala planetaria.

Campos nuevos:

- Gaia(x): campo de autorregulación planetaria
- Net_con(x): campo de redes de comunicación global
- Bio_eng(x): campo de ingeniería genética y biotecnología

Lagrangiano planetario:

L_planeta =

- Gaia(x) = homeostasis ecosistémica regulada

- $\text{Net_con}(x) \leftrightarrow$ integración de agentes biológicos y tecnológicos
- $\text{Bio_eng}(x) =$ modificación directa y programada de organismos

Emergencia:

- Capacidad para mitigar cambios ambientales
- Diseño de nuevas formas de vida y ecosistemas
- Emergen sistemas de decisión global integrados

Cierre

Este Lagrangiano evolutivo acumulativo describe una trayectoria desde el vacío cuántico primordial hasta un futuro en el que lo biológico y lo tecnológico se funden, configurando una nueva etapa de evolución consciente y planetaria.